



بیست و هفتمین کنفرانس اپتیک و
فوتوونیک ایران و سیزدهمین کنفرانس
مهندسی و فناوری فوتونیک ایران،
دانشگاه سیستان و بلوچستان،
 Zahedan, Iran.
 ۱۴-۱۶ بهمن ۱۳۹۹



کد مقاله : A-۱۰-۲۴۶۴-۱

نوسانگر پارامتریک تراهرتز بر پایهٔ ترکیب چهار موج در سیلیکون نیترید

طاهره امینی، فاضل جهانگیری

F_jahangiri@sbu.ac.ir

چکیده - در این مقاله، یک نوسانگر پارامتریک تراهرتز (TPO)، بر مبنای ترکیب چهار موج (FWM) تهیّگن، با قابلیت نوسان دهندهٔ هر چهار موج شرکت کننده در فرآیند با استفاده از مادهٔ غیرخطی مرتبهٔ سوم سیلیکون نیترید، در یک کاواک فابری-پروگزارش شده است. با تنظیم شرایط جورشده‌گی فاز و تغییر طول موج پمپ در بازهٔ $1.055 - 1.0599 \mu\text{m}$ می‌توان موج تراهرتز با فرکانس مرکزی در بازهٔ $0.588 - 2.6826 \text{ THz}$ تولید کرد. بهترین شرایط جور شده‌گی فاز در فرکانس مرکزی THz ارخ می‌دهد و در یک بار رفت و برگشت امواج درون کاواک، قلهٔ توان موج تراهرتز تولید شده به $3.6 \mu\text{W}$ می‌رسد.

کلید واژه- جورشده‌گی فازی، سیلیکون نیترید، کوک‌پذیری، موج تراهرتز، نوسانگر پارامتریک.

Terahertz Parametric Oscillation Based on Degenerate Four Wave Mixing in Silicon Nitride

Tahereh Amini, Fazel Jahangiri

F_jahangiri@sbu.ac.ir

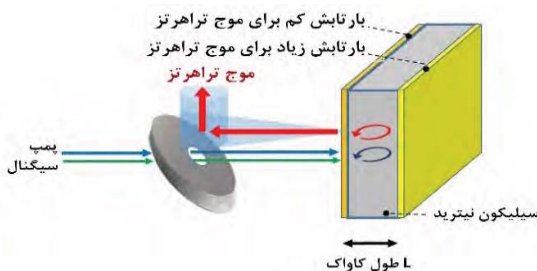
Abstract- In this paper, we report, a terahertz parametric oscillator (TPO), based on degenerate four waves mixing, with the ability to oscillate all four waves participating in the process in a Fabry-Perot cavity using nonlinear third-order nonlinear material of silicon nitride. By adjusting the phase matching conditions as well as the pump wavelength in a range of 1.055-1.0559, terahertz waves with central frequency in the range of 0.588-2.6826 THz are obtained. The best phase matching conditions occur at central frequency of 1THz, and the peak power of the generated terahertz wave reaches 3.6 μW in a single round trip of the waves within the cavity.

Keywords:phase matching, silicon nitride, terahertz wave ,tunability, parametric oscillator.

جدید در این حوزه، دارای بازده بالا، چیدمان ساده و کوک‌پذیری بالا THz است [۹].

در این مقاله، با توجه به کاربردهای خاص تراهرتز در فرکانس‌های حدود $TPO, 1 THz$ با استفاده از SN بر مبنای FWM برای فرکانس‌های کمتر ارائه شده است و بهینه سازی کواک، ویژگی‌های پرتو و شرایط جورشدگی فاز به گونه‌ای انجام شده است که فرکانس موج تراهرتز تولیدشده به سمت فرکانس $1 THz$ سوق پیدا کند.

در بخش اول این مقاله روابط ریاضی ارائه می‌شود، در بخش دوم نتایج شبیه‌سازی عددی مورد بحث و بررسی قرار می‌گیرد و در بخش آخر نتیجه‌گیری آورده شده است.



شکل ۱: چیدمان‌مود استفاده‌در شبیه‌سازی

روابط ریاضی

برای بررسی TPO بر مبنای FWM از چیدمانی مشابه شکل (۱) استفاده شده است. ابتدا شرایط جورشدگی فاز را بررسی می‌کنیم:

$$2\omega_p = \omega_s + \omega_{THz} \quad (1)$$

$$\Delta k = \Delta k_{NL} + \Delta k_L \quad (2)$$

$$\Delta k_{NL} = 2P\gamma = 2P(\gamma_{sp} + \gamma_{tp} - \gamma_p) \quad (3)$$

$$\Delta k_L = \beta_{2p}\Omega_{sp}^2 + 2 \sum_{m=2}^{\infty} \frac{\beta_{2mp}}{(2m)!} \Omega_{sp}^{2m} \quad (4)$$

معادله (۱) رابطه فرکانسی FWM تبھگن است، و ω_s ، ω_p و ω_{THz} به ترتیب فرکانس‌های موج پمپ، سیگنال و تراهرتز هستند. معادله‌های (۳) و (۴) به ترتیب، بخش غیرخطی و خطی رابطه جورشدگی فاز معادله (۲) هستند. P قله توان

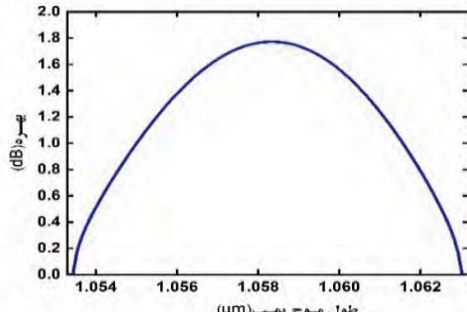
مقدمه

در حوزه اپتیک، موج تراهرتز به بخشی از موج الکترومغناطیس گفته می‌شود که دارای فرکانس THz است [۱]. این ناحیه فرکانسی، به دلیل خواص منحصر به فرد در زمینه‌های مختلف داروسازی و پزشکی [۲]، صنعت [۳]، امنیتی [۴] کاربردهای ویژه‌ای دارد، ارائه روش تولید موج تراهرتز کوک‌پذیر، پرتوان و مقرون‌به‌صرفه از اهمیت خاصی برخوردار است. برای تولید موج تراهرتز با استفاده از روش‌های غیرخطی، راهکارهای متنوعی وجود دارد [۵]. در این بین نوسانگرهای پارامتریک (PO)^۱ به دلیل توانایی در تولید موج تراهرتز کوک‌پذیر، تکفام، همدوس و پرانرژی جایگاه خاصی به خود اختصاص داده‌اند و بر مبنای تولید تفاضل فرکانسی و ترکیب چهارموج (FWM)^۲ عمل می‌کنند. از آنجا که مواد مورد استفاده در DFG هایاباید دارای تقارن غیرمرکزی باشند، به موادی محدود می‌شوند که دارای جذب به نسبت بالایی در ناحیه تراهرتز هستند [۶] و جورشدگی فازی در اپتیک غیرخطی مرتبه دوم تنها وابسته به طول موج امواج فرآیند هستند. اما، مواد مورد استفاده در FWM بر مبنای اصول اپتیک غیرخطی مرتبه سوم عمل می‌کنند و محدودیتی در انتخاب نوع ماده غیرخطی برای آنها وجود ندارد. همچنین، شرایط جورشدگی فاز در این فرآیند نه تنها وابسته به طول موج امواج است، بلکه با تغییر ویژگی‌های پمپ، می‌توان بهترین شرایط جورشدگی فاز را در آنها ایجاد نمود. استفاده از PO ها مبتنی بر FWM برای تولید موج تراهرتز اولین بار در سال ۲۰۰۶ به صورت تئوری در فیبر نوری معرفی شد [۷]. در سال ۲۰۱۲، استفاده از فیبر فوتونیک کریستالی در PO ، برای تولید موج تراهرتز، پیشنهاد شد [۸]. در سال ۲۰۲۰، نوسانگر پارامتریک تراهرتز (TPO) در سیلیکون نیترید (SiN) معرفی شد که ضمن معرفی ماده

^۱Parametric Oscillator

^۲Four wave mixing

۲.۶۸۲۶ THz ۱۰۵۵.۱ منجر به تولید موج تراهertz در بازه $t = s$ و i مدلولاسیون فاز متقاطع
و γ_i خودمدولاسیون فازی هستند. β_{2m} و ω_p به ترتیب پاشندگی سرعت گروه و پاشندگی های مراتب بالاتر زوج و $\Omega_{sp} = \omega_s - \omega_p = \omega_p - \omega_{THz}$



شکل ۳: تغییرات بهره بر حسب طول موج پمپ.

در بررسی TPO از روابط کوپل شده زیر استفاده می کنیم:

$$\begin{aligned} \frac{dA_p}{dt} &= -\frac{A_p}{2\tau_{tp}} + i(\gamma_p^c U_p + 2\gamma_{ps}^c U_s + 2\gamma_{pt}^c U_t) A_p + \\ &\quad 2i\gamma_{pspt}^c A_s A_t A_p^* + \frac{iA_{pinp}}{\sqrt{\tau_{ep}}} (5) \\ \frac{dA_s}{dt} &= -\frac{A_s}{2\tau_{ts}} + i(\gamma_s^c U_s + 2\gamma_{sp}^c U_p + 2\gamma_{st}^c U_t) A_s + \\ &\quad i\gamma_{sptp}^c A_p^2 A_t^* + \frac{iA_{ins}}{\sqrt{\tau_{es}}} (6) \\ \frac{dA_t}{dt} &= -\frac{A_t}{2\tau_{tt}} + i(\gamma_t^c U_t + 2\gamma_{tp}^c U_p + 2\gamma_{ts}^c U_s) A_t + \\ &\quad 2i\gamma_{tpsp}^c A_p^2 A_s^* \end{aligned} \quad (7)$$

که در آن $|A_j|^2$ انرژی موج j هستند، $\tau_{ej} = \frac{2n_j L}{c} (\ln(1/R_f R_r))^{-1}$ و $\tau_{lj} = (\frac{1}{\tau_{ej}} + \frac{c\alpha_j}{n_j})^{-1}$ ضریب جذب، n ضریب شکست و R_f و R_r و L به ترتیب بازتابش آینه های جلو، عقب و طول کاواک هستند. جمله آخر روابط (5) و (6) توان های ورودی کاواک هستند.

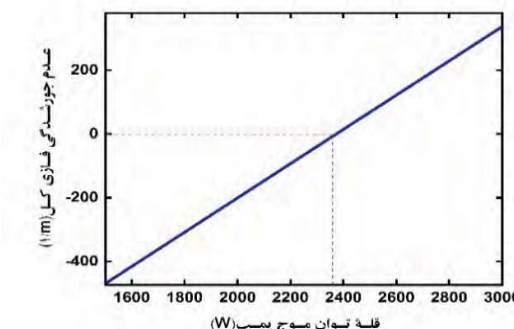
نتایج شبیه سازی عددی

شکل (۴)، تحول زمانی موج پمپ با طول موج $1 nm$ با قله توان $2373.5 W$ ، پهنه ای زمانی $100 fs$ و بذر سیگنال با طول موج $530 nm$ و توان $2 W$ را نشان می دهد. شکل (۵) نشان می دهد که همزمان با این تحول تولید موج تراهertz شروع می شود. طبق انتظار، نوسانگر سبب تولید و تقویت موج تراهertz می شود و بیشینه توان خروجی موج تراهertz در یک رفت و برگشت W است.

پمپ است. γ_{ij} ($i = t, s$ و $j = p$) مدلولاسیون فاز متقاطع و γ_i خودمدولاسیون فازی هستند. β_{2m} و ω_p به ترتیب پاشندگی سرعت گروه و پاشندگی های مراتب بالاتر زوج و $\Omega_{sp} = \omega_s - \omega_p = \omega_p - \omega_{THz}$ هستند.

در بررسی پاشندگی SN از مرجع [۹] استفاده شده است. برای برقراری معادله (۱) باید فرکانس موج تراهertz $1 THz$ و طول موج سیگنال و پمپ به ترتیب باید nm و $530 nm$ باشند. بنابراین، بخش خطی جورشدگی $\gamma(\omega) = \frac{\omega n_2(\omega)}{c \bar{A}_{eff}}$ است. همچنین فاز \bar{A}_{eff} ضریب غیرخطی، $n_2(\omega)$ ضریب کر و سطح مقطع مؤثر مدی هستند. مقدار پارامتر $(\gamma_{sp} + \gamma_{tp} - \gamma_p)$ در موج گوسی که قطر باریکه آن به اندازه سه برابر طول موج پرتو کانونی شده باشد، $1/Wm$ است. شکل (۲)، عدم جورشدگی فاز را بر حسب پیک توان پمپ نشان می دهد. در جورشدگی فاز قله توان پمپ تقریباً $1/2373.5 W$ است. در این حالت عدم جورشدگی فاز n/m است.

از شکل (۱) مشاهده می شود FWM در کاواک فابری-پرو انجام می گیرد. ضریب غیرخطی کاواک $\gamma^c = \gamma_{sp}^c + \gamma_{tp}^c - \gamma_p^c$ همچنین $\bar{V}_{ijkl} = \frac{\omega_i n_2(\omega_i) c}{\sqrt{n_i n_j n_k n_l}} \bar{V}_{ijkl}$ حجم مدی مؤثر و ضریب شکست امواج هستند.



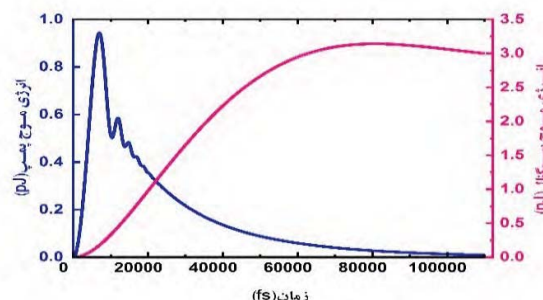
شکل ۲: تغییرات عدم جورشدگی فازی بر حسب تغییر قله توان پمپ.

شکل (۳)، بهره نهایی در TPO مورد بحث را نشان می دهد. تغییر طول موج پمپ در محدوده $1055.9 nm$ می دهد.

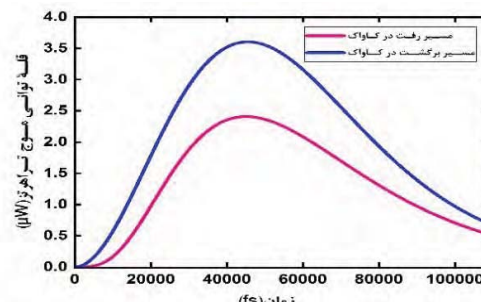
پذیری این سیستم 5.88 THz است که تا کنون به روش بیان شده در این مقاله گزارش نشده است.

مرجع‌ها

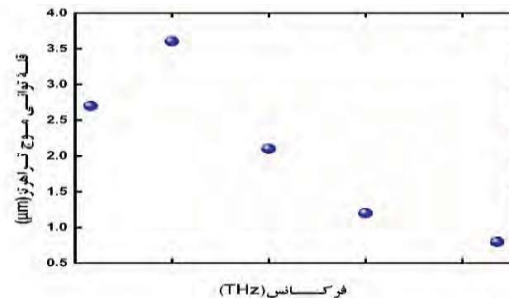
- [1] X.-C. Zhang, "Terahertz wave imaging: horizons and hurdles," *PHYSICS IN MEDICINE AND BIOLOGY*, vol. 47, no. 21, p. 3667-3677, 2002.
- [2] V. I. Fedorov, "The Biological Effects of Terahertz Laser Radiation as a Fundamental Premise for Designing Diagnostic and Treatment," *BIOPHYSICS*, vol. 62, no. 2, pp. 324-330, 2017.
- [3] J. Axel Zeitler, Yao-Chun Shen, "Industrial Applications of Terahertz Imaging," *Terahertz Spectroscopy and Imaging*, vol. 171, pp. 451-489, 2012.
- [4] N. Laman, S. Sree Harsha, D. Grischkowsky, and J. S. Melinger, "7 GHz resolution waveguide THz spectroscopy of explosives related solids showing new features," *Opt. Express*, vol. 16, p. 4094-4105, 2008.
- [5] Herath P. Piyathilaka, Rishmali Sooriyagoda, Vikum Dewasurendra and others, "Terahertz generation by optical rectification in chalcopyrite crystals ZnGeP₂, CdGeP₂ and CdSiP₂," *Optics Express*, vol. 27, no. 12, pp. 16958-16965, 2019.
- [6] B. Sun, S. Li, J. Liu, E. Li, and J. Yao, "Terahertz-wave parametric oscillator with a misalignment-resistant tuning cavity," *Opt. Lett*, vol. 36, no. 10, p. 1845-1847, 2011.
- [7] K. Suizu, Y. Suzuki, Y. Sasaki, H. Ito, and Y. Avetisyan, "Surface-emitted terahertz-wave generation by ridged periodically poled lithium niobate and enhancement by mixing of two terahertz waves," *Opt. Lett*, vol. 31, no. 7, p. 957-959, 2006.
- [8] S. Li, H. Liu, N. Huang, Q. ibing Sun, and X. Li, "High efficiency terahertz-wave photonic crystal fiber," *APPLIED OPTICS*, vol. 51, no. 22, pp. 5579-5584, 2012.
- [9] T. Amini, F. Jahangiri, "Optimized design for a terahertz parametric oscillator based on degenerate four- wave mixing in silicon nitride," *JOSA B*, vol. 37, no. 9, pp. 2725-2731, 2020.



شکل ۴: تحولات زمانی پمپ و سیگنال طی رفت و برگشت درون کاواک.



شکل ۵: مقایسه توان موج تراهرتز تولید شده در مسیرهای رفت و برگشت درون کاواک.



شکل ۶: قله توان موج تراهرتز تولید شده طی کوکپذیری *TPO*

با دور شدن از فرکانس 1 THz و رفتن به سمت فرکانس‌هایی با عدم جورشده‌گی فازی بیشتر، قله توان موج تراهرتز کم می‌شود. این رفتار در شکل (۶) نشان داده شده است.

نتیجه‌گیری

تولید موج تراهرتز به روش *TPO* بر مبنای *FWM* در ماده *SN* بررسی شده است. پمپ fs با قله توان $W = 2373.5$ و طول موج مرکزی $nm = 58.1$ و بذر سیگنال $W = 2$ با طول $nm = 53$ منطبق بر جورشده‌گی فازی موج تراهرتز با فرکانس 1 THz مورد استفاده قرار گرفته است. کوک-